

УДК 532.591

РАССЕЯНИЕ ПОВЕРХНОСТНЫХ ВОЛН КРАЕМ ПЛАВАЮЩЕЙ УПРУГОЙ ПЛАСТИНЫ

Л. А. Ткачева

Институт гидродинамики им. М. А. Лаврентьева СО РАН, 630090 Новосибирск

Исследуется дифракция плоских поверхностных волн плавающей полубесконечной пластиной в жидкости конечной глубины. Построено явное аналитическое решение этой задачи методом Винера — Хопфа. Получены простые точные формулы для коэффициентов отражения и прохождения, а также их асимптотики. Приведены результаты численных расчетов по полученным формулам.

Задача о поведении плавающей упругой пластины на волнах ранее изучалась при исследовании изгибно-гравитационных волн в жидкости с ледяным покровом (см. обзоры [1, 2]). В настоящее время эта задача представляет интерес в связи с проектированием искусственных островов и плавающих аэропортов, а также платформ различного назначения. Существуют различные численные методы решения таких задач, в частности для полубесконечной пластины (см., например, [3–5]). Однако все эти методы позволяют получить достоверные результаты только в области больших и умеренных длин волн и становятся некорректными при малых длинах набегающих волн. Аналитическое решение методом Винера — Хопфа построено в [6] для косога набегания в жидкости конечной глубины, в [7] для стратифицированной жидкости, в [8] для прямого набегания в бесконечно глубокой жидкости, в [9] для косога набегания с использованием уравнения Тимошенко — Миндлина для изгибных колебаний пластины. Во всех этих работах полученное решение зависит от неизвестных коэффициентов, для определения которых нужно решить систему линейных алгебраических уравнений. Коэффициенты системы имеют сложный вид. В [10] удалось обратить эту систему и найти точные значения искомых коэффициентов, а также явное выражение для потенциала скоростей и простые точные формулы для коэффициентов прохождения и отражения в случае прямого набегания в бесконечно глубокой жидкости. В данной работе такие формулы получены для случая жидкости конечной глубины.

Постановка задачи. Будем предполагать, что жидкость идеальная несжимаемая конечной глубины H . Поверхность жидкости частично закрыта тонкой упругой полубесконечной пластиной. Плоская волна малой амплитуды набегаёт под прямым углом к пластине, причем длина волны значительно больше толщины пластины. Введем декартову систему координат (x, y) с центром O в кромке пластины и осью Ox , направленной вдоль пластины (рис. 1). Осадкой платформы в воду будем пренебрегать, граничные условия сносятся на невозмущенную поверхность воды. Задача решается в линейной постановке.

Потенциал скоростей жидкости φ удовлетворяет уравнению Лапласа

$$\Delta\varphi = 0 \quad (y < 0). \quad (1)$$

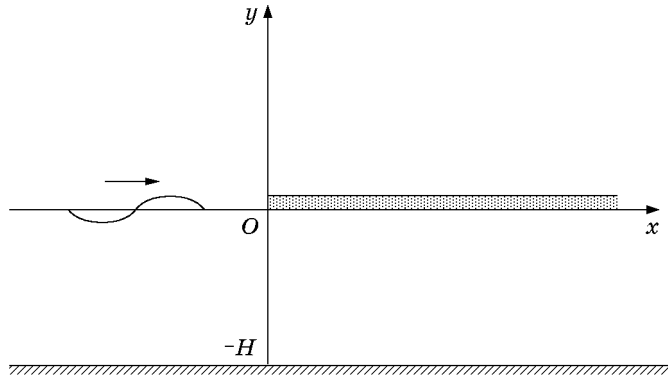


Рис. 1. Схема течения

Граничные условия можно записать в виде

$$\begin{aligned} \frac{\partial \varphi}{\partial y} = 0 \quad (y = -H, \quad -\infty < x < \infty), \quad \varphi_y = \eta_t \quad (y = 0, \quad -\infty < x < \infty), \\ D \frac{\partial^4 \eta}{\partial x^4} + \rho_0 h \frac{\partial^2 \eta}{\partial t^2} = p, \quad p = -\rho(\varphi_t + g\eta) \quad (y = 0, \quad x > 0), \\ \varphi_t + g\eta = 0 \quad (y = 0, \quad x < 0). \end{aligned} \quad (2)$$

Здесь η — вертикальное смещение поверхности жидкости (пластины); g — ускорение свободного падения; D — цилиндрическая жесткость пластины; h, ρ_0 — толщина и плотность пластины; t — время. На краю пластины момент и перерезывающая сила должны быть равны нулю:

$$\frac{\partial^2 \eta}{\partial x^2} = \frac{\partial^3 \eta}{\partial x^3} = 0 \quad (x = 0, \quad y = 0). \quad (3)$$

Введем безразмерные переменные $\varphi' = \varphi/(A\sqrt{gl})$, $x' = x/l$, $y' = y/l$, $t' = t\sqrt{g/l}$, $H' = H/l$, где A — амплитуда падающей волны; $l = g/\omega^2$ — характерная длина. Далее штрихи будем опускать. Потенциал φ представим в виде

$$\varphi = (\varphi_0 + \varphi_1)e^{-i\omega t}, \quad \varphi_0 = e^{i\gamma x} \text{ch}(\gamma(y+H))/\text{ch}(\gamma H),$$

где φ_0 — потенциал падающей волны; φ_1 — дифрагированный потенциал; γ — волновое число в набегающей волне, определяемое из дисперсионного соотношения для поверхностных волн на воде глубины H : $\gamma \text{th}(\gamma H) - 1 = 0$. Тогда из (1)–(3) можно получить краевую задачу для φ_1 . Функция $\varphi_1(x, y)$ удовлетворяет уравнению (1) и следующим граничным условиям:

$$\frac{\partial \varphi_1}{\partial y} = 0 \quad (y = -H, \quad -\infty < x < \infty); \quad (4)$$

$$\frac{\partial \varphi_1}{\partial y} - \varphi_1 = 0 \quad (y = 0, \quad x < 0); \quad (5)$$

$$\left(\beta \frac{\partial^4}{\partial x^4} + 1 - \delta \right) \frac{\partial \varphi_1}{\partial y} - \varphi_1 = B e^{i\gamma x} \quad (y = 0, \quad x > 0); \quad (6)$$

$$\frac{\partial^2}{\partial x^2} \frac{\partial \varphi}{\partial y} = \frac{\partial^3}{\partial x^3} \frac{\partial \varphi}{\partial y} = 0 \quad (x = 0, \quad y = 0). \quad (7)$$

Здесь $\beta = D/(\rho g l^4)$, $\delta = \rho_0 h/(\rho l)$ — безразмерные параметры задачи; $B = \delta - \beta \gamma^4$. Кроме того, должны выполняться условия излучения при $|x| \rightarrow \infty$ и условия регулярности

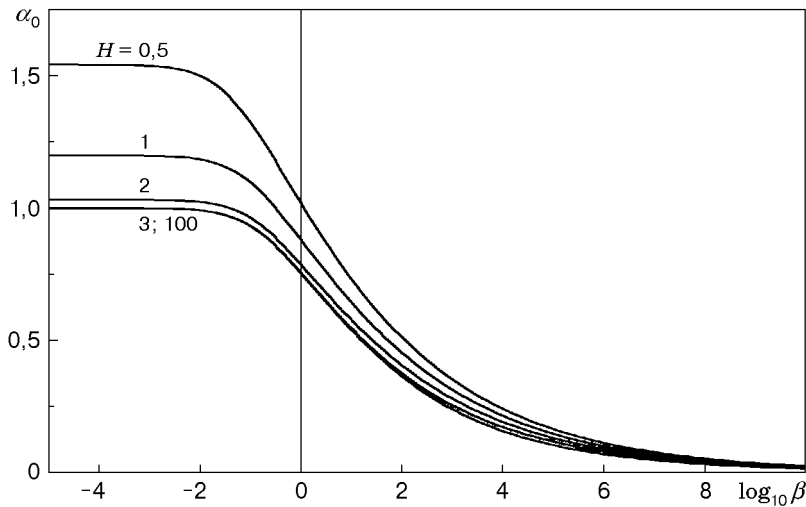


Рис. 2. Зависимость волнового числа α_0 от β при различных значениях H

вблизи кромки (локальная ограниченность энергии). Вследствие сделанных предположений параметр $\delta \ll 1$. В дальнейшем положим δ равным нулю.

Дисперсионные соотношения. Рассмотрим характер распространения волн в жидкости со свободной поверхностью и под пластиной. Найдем решения уравнения Лапласа с условием (4) на дне и соответствующим условием на верхней границе вида $e^{i\alpha x} \text{ch}(\alpha(y+H))/\text{ch}(\alpha H)$.

1. *Поверхностные волны.* Для поверхностных волн значения α должны удовлетворять дисперсионному соотношению $\alpha \text{th}(\alpha H) - 1 = 0$, которое имеет два действительных корня $\pm\gamma$ и счетное множество чисто мнимых корней $\pm\gamma_j$ ($j = 1, 2, \dots$), расположенных симметрично относительно действительной оси [3].

2. *Изгибно-гравитационные волны.* Для волн, распространяющихся в пластине (так называемых изгибно-гравитационных волн), дисперсионное соотношение $(\beta\alpha^4 + 1)\alpha \text{th}(\alpha H) - 1 = 0$ имеет два действительных корня $\pm\alpha_0$, счетное множество чисто мнимых корней $\pm\alpha_j$ ($j = 1, 2, \dots$), симметричных относительно действительной оси, а также четыре комплексных корня, симметричных относительно действительной и мнимой осей [3]. Обозначим через α_{-1} корень, лежащий в первом квадранте, через α_{-2} — корень во втором квадранте.

Действительные корни дисперсионных соотношений определяют распространяющиеся волны, остальные корни определяют краевые волны, экспоненциально затухающие вдали от кромки пластины. На рис. 2 показана зависимость волнового числа α_0 от β при различных значениях H . При $H \geq 3$ значения α_0 практически не зависят от H . Однако при малых значениях H и β зависимость от глубины становится существенной, при этом $\alpha_0 \rightarrow \infty$ при $H \rightarrow 0$. Асимптотика корня α_0 при предельных значениях параметров H и β дается следующими соотношениями: при $H \rightarrow 0$ $\alpha_0 \rightarrow (\beta H)^{-1/6}$, при $H \rightarrow \infty$ значение α_0 стремится к действительному корню уравнения $\beta\alpha^5 + \alpha - 1 = 0$, соответствующего бесконечно глубокой жидкости [10]. При $\beta \rightarrow \infty$ $\alpha_0 \rightarrow (\beta H)^{-1/6}$, при $\beta \rightarrow 0$ $\alpha_0 \rightarrow \gamma$.

Аналитическое решение задачи. Решение задачи будем строить методом Винера — Хопфа в интерпретации Джонса [11]. Введем в рассмотрение функции комплексной переменной α

$$\Phi_+(\alpha, y) = \int_0^{\infty} e^{i\alpha x} \varphi_1(x, y) dx, \quad \Phi_-(\alpha, y) = \int_{-\infty}^0 e^{i\alpha x} \varphi_1(x, y) dx, \quad (8)$$

$$\Phi(\alpha, y) = \Phi_+(\alpha, y) + \Phi_-(\alpha, y).$$

Функция $\Phi_+(\alpha, y)$ определена в верхней полуплоскости $\text{Im } \alpha > 0$, а функция $\Phi_-(\alpha, y)$ — в нижней полуплоскости $\text{Im } \alpha < 0$. С помощью аналитического продолжения эти функции можно определить во всей комплексной плоскости.

Исследуем поведение функций $\Phi_{\pm}(\alpha, y)$. При $x \rightarrow -\infty$ дифрагированный потенциал представляет собой отраженную волну вида $Re^{-i\gamma x}$ и множество экспоненциально затухающих волн. Наименее затухающая волна соответствует корню γ_1 . Поэтому $\Phi_-(\alpha, y)$ аналитична в полуплоскости $\text{Im } \alpha < |\gamma_1|$, за исключением полюса при $\alpha = \gamma$. При $x \rightarrow \infty$ потенциал φ_1 представляет собой проходящую волну с волновым числом α_0 , волну с волновым числом γ , компенсирующую φ_0 , и множество экспоненциально затухающих мод. Поэтому функция $\Phi_+(\alpha, y)$ аналитична в полуплоскости $\text{Im } \alpha > -c$, за исключением полюсов в точках $\alpha = -\alpha_0$ и $\alpha = -\gamma$ ($c = \min\{\text{Im } \alpha_{-1}, |\alpha_1|\}$ — положительное число, соответствующее наименее затухающей моде в пластине).

Функция $\Phi(\alpha, y)$ представляет собой образ Фурье для функции $\varphi_1(x, y)$ и удовлетворяет уравнению $\partial^2 \Phi / \partial y^2 - \alpha^2 \Phi = 0$. Общее решение этого уравнения с условием (4) на дне имеет вид

$$\Phi(\alpha, y) = C(\alpha) \text{ch}(\alpha(y + H)) / \text{ch}(\alpha H). \quad (9)$$

Обозначим через $D_{\pm}(\alpha)$ интегралы типа (8), где функция φ_1 под интегралом заменяется левой частью краевого условия (5), а через $F_{\pm}(\alpha)$ — аналогичные выражения, в которых в качестве подынтегральной функции берется левая часть выражения (6). Эти интегралы представляют собой преобразование Фурье обобщенных функций [12]. Для них выполняются соотношения

$$D_+(\alpha) + D_-(\alpha) = C(\alpha)(\alpha \text{th}(\alpha H) - 1), \quad F_+(\alpha) + F_-(\alpha) = C(\alpha)[(\beta\alpha^4 + 1)\alpha \text{th}(\alpha H) - 1]. \quad (10)$$

Из краевых условий (5) и (6) имеем $D_-(\alpha) = 0$, $F_+(\alpha) = -B/(i(\alpha + \gamma))$. С учетом этого соотношения (10) запишем в виде

$$D_+(\alpha) = C(\alpha)(\alpha \text{th}(\alpha H) - 1), \quad F_-(\alpha) - \frac{B}{i(\alpha + \gamma)} = C(\alpha)[(\beta\alpha^4 + 1)\alpha \text{th}(\alpha H) - 1]. \quad (11)$$

Из последних двух уравнений получим

$$D_+(\alpha) = \frac{\alpha \text{th}(\alpha H) - 1}{(\beta\alpha^4 + 1)\alpha \text{th}(\alpha H) - 1} \left(F_-(\alpha) - \frac{B}{i(\alpha + \gamma)} \right). \quad (12)$$

Обозначим $K(\alpha) = K_1(\alpha)/K_2(\alpha)$, где $K_1(\alpha)$ и $K_2(\alpha)$ — дисперсионные функции для волн на воде и в пластине соответственно: $K_1(\alpha) = \alpha \text{th}(\alpha H) - 1$, $K_2(\alpha) = (\beta\alpha^4 + 1)\alpha \text{th}(\alpha H) - 1$. Следует отметить, что эти функции четные.

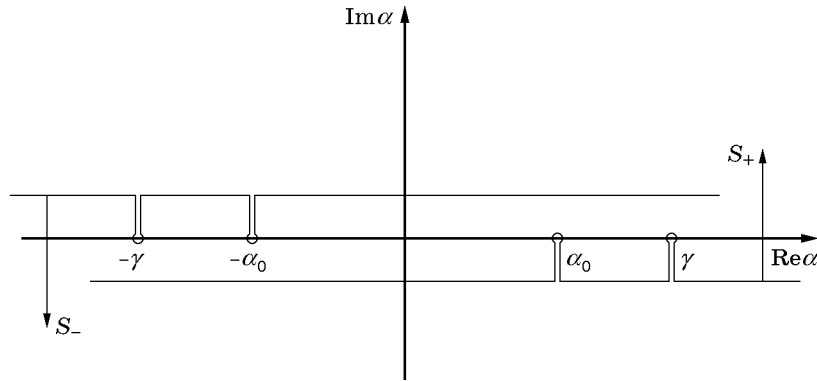
В соответствии с методом Винера — Хопфа необходимо факторизовать функцию $K(\alpha)$, т. е. представить ее в виде

$$K(\alpha) = K_+(\alpha)K_-(\alpha), \quad (13)$$

где функции $K_{\pm}(\alpha)$ регулярны в тех же областях, что и функции $\Phi_{\pm}(\alpha, y)$. Функция $K(\alpha)$ имеет соответственно нули и полюса на действительной оси в точках $\pm\gamma$ и $\pm\alpha_0$. Легко показать, что $|\alpha_1| < |\gamma_1|$. Поэтому будем рассматривать области аналитичности S_+ и S_- (S_+ — полуплоскость $\text{Im } \alpha > -c$ с разрезами, исключающими точки α_0 и γ , S_- — полуплоскость $\text{Im } \alpha < c$ с разрезами, исключающими точки $-\alpha_0$ и $-\gamma$) (рис. 3).

Введем функцию $g(\alpha) = K(\alpha)\beta(\alpha^2 - \alpha_0^2)(\alpha^2 - \alpha_{-1}^2)(\alpha^2 - \alpha_{-2}^2)/(\alpha^2 - \gamma^2)$. Функция $g(\alpha)$ не имеет нулей, ограничена и стремится на бесконечности к единице. Факторизуем $g(\alpha)$ следующим образом [11]: $g(\alpha) = g_+(\alpha)g_-(\alpha)$, где

$$g_{\pm}(\alpha) = \exp \left[\pm \frac{1}{2\pi i} \int_{-\infty \mp id}^{\infty \mp id} \frac{\ln g(x)}{x - \alpha} dx \right], \quad d < c. \quad (14)$$

Рис. 3. Области S_{\pm} аналитичности функций Φ_{\pm}

Определим функции $K_{\pm}(\alpha)$:

$$K_+(\alpha) = \frac{(\alpha + \gamma)g_+(\alpha)}{\sqrt{\beta}(\alpha + \alpha_0)(\alpha + \alpha_{-1})(\alpha + \alpha_{-2})}, \quad K_-(\alpha) = \frac{(\alpha - \gamma)g_-(\alpha)}{\sqrt{\beta}(\alpha - \alpha_0)(\alpha - \alpha_{-1})(\alpha - \alpha_{-2})}. \quad (15)$$

При этом $K_+(\alpha) = K_-(-\alpha)$.

Уравнение (12) запишем в виде

$$K_-(\alpha) \left(F_-(\alpha) - \frac{B}{i(\alpha + \gamma)} \right) = \frac{D_+(\alpha)}{K_+(\alpha)},$$

или

$$K_-(\alpha)F_-(\alpha) - \frac{B}{i(\alpha + \gamma)} (K_-(\alpha) - K_-(-\gamma)) = \frac{D_+(\alpha)}{K_+(\alpha)} + \frac{BK_-(-\gamma)}{i(\alpha + \gamma)}.$$

В левой части этого равенства имеем функцию, аналитическую в области S_- , а в правой — функцию, аналитическую в S_+ . Аналитическим продолжением их можно определить функцию во всей комплексной плоскости. Согласно теореме Лиувилля эта функция является полиномом. Степень полинома определяется поведением функций при $|\alpha| \rightarrow \infty$.

Из условия локальной ограниченности энергии следует, что вблизи кромки пластины скорости имеют особенность не выше $O(r^{-\lambda})$ ($\lambda < 1$, r — расстояние до кромки пластины). Тогда функция $F_-(\alpha)$ при $|\alpha| \rightarrow \infty$ имеет порядок не выше $O(|\alpha|^{\lambda+3})$, а $D_+(\alpha)$ — не выше $O(|\alpha|^{\lambda-1})$ [12]. Функции $K_{\pm}(\alpha)$ имеют на бесконечности порядок $O(|\alpha|^{-2})$, так как $g_{\pm}(\alpha) \rightarrow 1$ при $|\alpha| \rightarrow \infty$. Следовательно, степень полинома равна единице и

$$\frac{D_+(\alpha)}{K_+(\alpha)} + \frac{BK_-(-\gamma)}{i(\alpha + \gamma)} = \frac{BK_-(-\gamma)}{i} (a + b\alpha),$$

где a и b — неизвестные константы, которые будем определять из условий (7).

Выражая из последнего уравнения $D_+(\alpha)$, с учетом (9) и (11) находим

$$\varphi_1(x, y) = \frac{BK_-(-\gamma)}{2\pi i} \int_{-\infty}^{\infty} e^{-i\alpha x} \frac{\text{ch}(\alpha(y+H))K_+(\alpha)}{\text{ch}(\alpha H)K_1(\alpha)} \left(a + b\alpha - \frac{1}{\alpha + \gamma} \right) d\alpha, \quad (16)$$

$$\frac{\partial \varphi}{\partial y}(x, 0) = e^{i\gamma x} + \frac{BK_-(-\gamma)}{2\pi i} \int_{-\infty}^{\infty} e^{-i\alpha x} \frac{\alpha \text{th}(\alpha H)K_+(\alpha)}{K_1(\alpha)} \left(a + b\alpha - \frac{1}{\alpha + \gamma} \right) d\alpha.$$

Контур интегрирования должен быть выбран таким образом, чтобы он полностью лежал в пересечении областей S_+ и S_- . Можно выбрать контур интегрирования на действительной оси, обходя точки α_0 и γ снизу, а точки $-\alpha_0$ и $-\gamma$ сверху.

Рассмотрим случай $x > 0$. Используя (13), второе выражение в (16) можно записать в виде

$$\frac{\partial \varphi}{\partial y}(x, 0) = e^{i\gamma x} + \frac{BK_-(-\gamma)}{2\pi i} \int_{-\infty}^{\infty} \frac{e^{-i\alpha x} \alpha \operatorname{th}(\alpha H)}{K_-(\alpha)K_2(\alpha)} \left(a + b\alpha - \frac{1}{\alpha + \gamma} \right) d\alpha.$$

При $x > 0$ замыкаем контур интегрирования в нижней полуплоскости и получаем полюса в точках $-\gamma, -\alpha_j$ ($j = -2, -1, \dots$). Вычет в точке $-\gamma$ компенсируется набегающей волной. Следовательно,

$$\frac{\partial \varphi}{\partial y}(x, 0) = -BK_-(-\gamma) \sum_{j=-2}^{\infty} \frac{e^{i\alpha_j x} \alpha_j \operatorname{th}(\alpha_j H)}{K_-(-\alpha_j)K_2'(-\alpha_j)} \left(a - b\alpha_j - \frac{1}{\gamma - \alpha_j} \right).$$

Подставляя данное выражение в краевые условия (7), получим систему линейных алгебраических уравнений второго порядка для определения неизвестных a и b

$$\begin{pmatrix} A_{11} & A_{12} \\ A_{21} & A_{23} \end{pmatrix} \begin{pmatrix} a \\ b \end{pmatrix} = \begin{pmatrix} C_1 \\ C_2 \end{pmatrix}. \quad (17)$$

Коэффициенты матрицы вычисляются по формулам

$$A_{11} = \sum_{j=-2}^{\infty} \frac{\alpha_j^3 \operatorname{th}(\alpha_j H)}{K_-(-\alpha_j)K_2'(-\alpha_j)}, \quad A_{12} = iA_{21},$$

$$A_{21} = \sum_{j=-2}^{\infty} \frac{\alpha_j^4 \operatorname{th}(\alpha_j H)}{K_-(-\alpha_j)K_2'(-\alpha_j)}, \quad A_{22} = - \sum_{j=-2}^{\infty} \frac{\alpha_j^5 \operatorname{th}(\alpha_j H)}{K_-(-\alpha_j)K_2'(-\alpha_j)}.$$

Величины C_1, C_2 , входящие в правую часть уравнения (17), имеют вид

$$C_1 = \sum_{j=-2}^{\infty} \frac{\alpha_j^3 \operatorname{th}(\alpha_j H)}{K_-(-\alpha_j)K_2'(-\alpha_j)(\gamma - \alpha_j)}, \quad C_2 = \sum_{j=-2}^{\infty} \frac{\alpha_j^4 \operatorname{th}(\alpha_j H)}{K_-(-\alpha_j)K_2'(-\alpha_j)(\gamma - \alpha_j)}.$$

Систему (17) можно записать в виде

$$\begin{pmatrix} \gamma U_3 - U_4 & -\gamma U_4 + U_5 \\ \gamma U_4 - U_5 & -\gamma U_5 + U_6 \end{pmatrix} \begin{pmatrix} a \\ b \end{pmatrix} = \begin{pmatrix} U_3 \\ U_4 \end{pmatrix}, \quad (18)$$

где $U_m = \sum_{j=-2}^{\infty} \frac{\alpha_j^m \operatorname{th}(\alpha_j H)}{K_-(-\alpha_j)K_2'(-\alpha_j)(\gamma - \alpha_j)}$.

Покажем, что коэффициенты U_5 и U_6 равны нулю. Тогда полученную систему можно точно обратить. Заменяя сумму интегралом и учитывая, что $\alpha_j^5 \operatorname{th}(\alpha_j H) = -K_1(\alpha_j)/\beta$, получим

$$U_m = \frac{(-1)^{m-1}}{2\pi i \beta} \int_{-\infty}^{\infty} \frac{K_1(\alpha) \alpha^{m-5} d\alpha}{(\gamma + \alpha)K_-(\alpha)K_2(\alpha)}, \quad m = 5, 6.$$

С учетом (13) имеем

$$U_m = \frac{(-1)^{m-1}}{2\pi i \beta} \int_{-\infty}^{\infty} \frac{\alpha^{m-5} K_+(\alpha) d\alpha}{\gamma + \alpha}, \quad m = 5, 6.$$

Подынтегральная функция регулярна в верхней полуплоскости и убывает при $|\alpha| \rightarrow \infty$ не медленнее, чем α^{-2} . Следовательно, $U_5 = U_6 = 0$. Из системы (18) находим $a = 1/\gamma$, $b = -1/\gamma^2$.

Подставляя значения коэффициентов a и b в (16), получим

$$\varphi_1(x, 0) = -\frac{BK_-(-\gamma)}{2\pi i \gamma^2} \int_{-\infty}^{\infty} e^{-i\alpha x} \frac{K_+(\alpha)\alpha^2 d\alpha}{K_1(\alpha)(\gamma + \alpha)}.$$

Теперь можно найти отраженную и прошедшую волны. При $|x| \rightarrow \infty$ потенциал имеет вид $\varphi(x, 0) = R e^{-i\gamma x}$, $x \rightarrow -\infty$, $\varphi(x, 0) = T e^{i\alpha_0 x}$, $x \rightarrow \infty$. Для R и T получим следующие выражения:

$$R = \frac{\beta\gamma K_+^2(\gamma)}{2K_1'(\gamma)}, \quad T = -\frac{\beta\gamma^2 K_-(-\gamma)\alpha_0^2}{(\gamma - \alpha_0)K_-(-\alpha_0)K_2'(-\alpha_0)}.$$

С учетом сделанной нормировки в данном случае амплитуда $|R|$ представляет собой коэффициент отражения. Подставляя в последние формулы выражения (15), получим значения амплитуд $|R|$ и $|T|$. Интеграл в формуле (14) можно снести на действительную ось [11]. В результате получим

$$|g_+(\gamma)| = \sqrt{g(\gamma)} = \sqrt{\frac{\beta(\gamma^2 - \alpha_0^2)|\gamma^2 - \alpha_{-1}^2||\gamma^2 - \alpha_{-2}^2| |K_1'(\gamma)|}{2\gamma |K_2(\gamma)|}},$$

$$|K_+(\gamma)| = \sqrt{\frac{2\gamma(\gamma - \alpha_0) |K_1'(\gamma)|}{(\gamma + \alpha_0) |K_2(\gamma)|}}.$$

Для коэффициента отражения имеем формулу $|R| = |(\gamma - \alpha_0)/(\gamma + \alpha_0)|$. Аналогично находим

$$|K_+(\alpha_0)| = \sqrt{\frac{(\gamma + \alpha_0) |K_1(\alpha_0)|}{2\alpha_0(\gamma - \alpha_0) |K_2'(\alpha_0)|}}.$$

Тогда формула для $|T|$ принимает вид

$$|T| = \frac{2}{\gamma + \alpha_0} \sqrt{\frac{\gamma |K_1'(\gamma)|}{\text{th}(\alpha_0 H) |K_2'(\alpha_0)|}}.$$

В [6, 9] получено точное энергетическое соотношение между амплитудами $|R|$ и $|T|$, которое для случая нормального набега волн можно записать в виде

$$|R|^2 + |T|^2 \frac{\alpha_0 \text{th}(\alpha_0 H) |K_2'(\alpha_0)|}{|K_1'(\gamma)|} = 1.$$

Найденные выражения для амплитуд удовлетворяют ему. Отметим, что полученные точные значения $|R|$ и $|T|$ совпадают с приведенными в [9] приближенными значениями, где выражение для $|R|$ получено в предположении непрерывности смещений на кромке, т. е. при $a = b = 0$, а формула для $|T|$ выведена из энергетического соотношения. В действительности коэффициенты a и b отличны от нуля, но $a + b\gamma = 0$. Этим можно объяснить хорошее согласие расчетов по этим формулам с расчетами при учете параметра δ [9].

Теперь можно вычислить все интересующие величины в проходящей волне. Амплитуда перемещений пластины в проходящей волне вычисляется по формуле $|\eta| = |T|\alpha_0 \text{th}(\alpha_0 H)$. Правая часть этого равенства представляет собой коэффициент прохождения

$$T^* = \frac{2\alpha_0}{\gamma + \alpha_0} \sqrt{\frac{\gamma |K_1'(\gamma)| \text{th}(\alpha_0 H)}{|K_2'(\alpha_0)|}}.$$

Следует отметить, что в литературе имеются различные определения коэффициента прохождения. Большинство авторов определяют его как отношение амплитуды вертикального смещения в проходящей волне к амплитуде возвышения набегающей волны [3–6]. Однако в [9] под коэффициентом прохождения понимается отношение амплитуды потенциала в проходящей волне к амплитуде потенциала в набегающей волне.

Деформация пластины вычисляется по формуле

$$e_{xx} = -\frac{h}{2} \frac{\partial^2 \eta}{\partial y^2}.$$

Максимальная деформация пластины в проходящей волне имеет амплитуду $e_{\max} = Ahe/(2l^2)$, $e = |T|\alpha_0^3 \operatorname{th}(\alpha_0 H)$.

Предельные случаи. Найдем асимптотические формулы для коэффициентов отражения и прохождения в предельных случаях больших и малых значений параметров H и β . При $\beta \rightarrow \infty$, что соответствует очень жесткой пластине или коротким набегающим волнам, имеем $\alpha_0 = (\beta H)^{-1/6} + O(\beta^{-1/2})$. Тогда

$$|R| = 1 - 2(\beta H)^{-1/6}/\gamma + O(\beta^{-1/2}), \quad T^* = 2\beta^{-1/3} H^{1/6} \sqrt{K'_1(\gamma)/(6\gamma)} + O(\beta^{-1/2}).$$

При $\beta \rightarrow 0$ (этот случай соответствует очень мягкой пластине или длинным набегающим волнам) $\alpha_0 = \gamma - \beta\gamma^4/K'_1(\gamma) + O(\beta^2)$. Для коэффициентов получаем формулы

$$|R| = \beta \frac{\gamma^3}{2K'_1(\gamma)} + O(\beta^2), \quad T^* = 1 - \beta \frac{6\gamma^3 + 3\gamma^3 H(\gamma^2 + 1)}{2K'_1(\gamma)} + O(\beta^2).$$

В случае малой глубины ($H \rightarrow 0$) $\alpha_0 = (\beta H)^{-1/6} + O(H^{1/2})$. Тогда

$$|R| = 1 - 2\gamma(\beta H)^{1/6} + O(H^{1/3}), \quad T^* = 2\beta^{-1/6} H^{1/3} \sqrt{\gamma K'_1(\gamma)/6} + O(H^{1/2}).$$

При $H \rightarrow \infty$ получаем модель бесконечно глубокой жидкости [10].

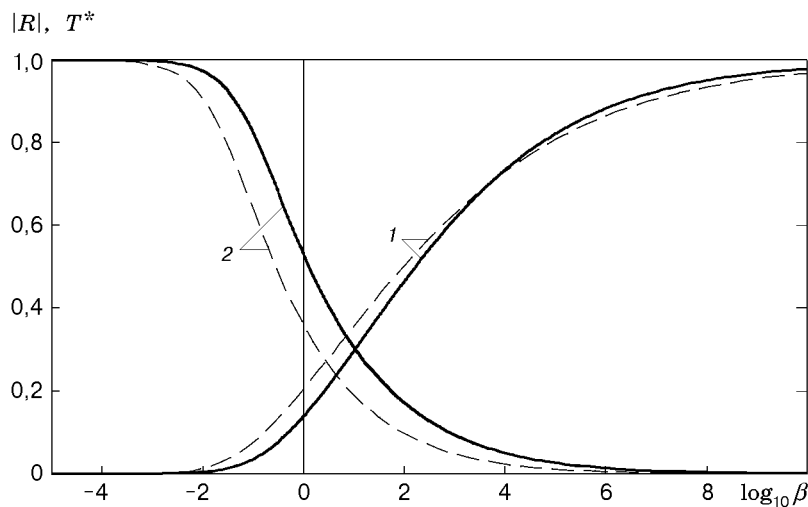


Рис. 4. Зависимости коэффициентов отражения $|R|$ (кривые 1) и прохождения T^* (кривые 2) от β :

сплошные линии — $H = 100$, штриховые — $H = 0,5$

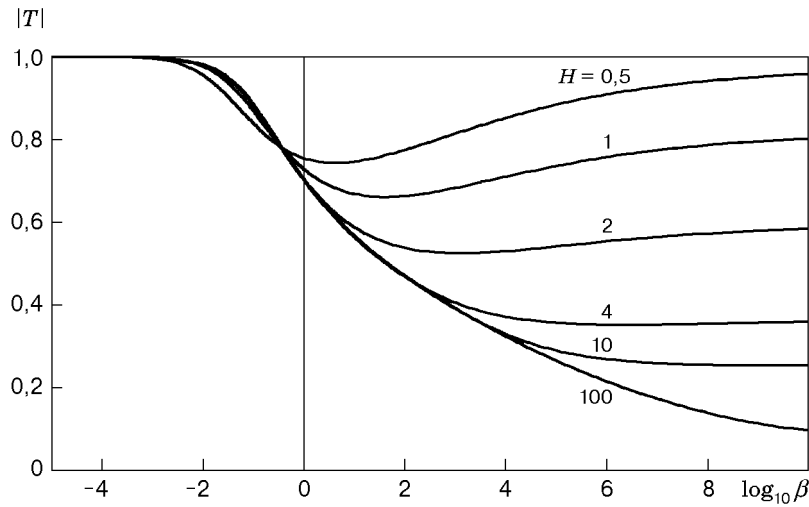


Рис. 5. Зависимость амплитуды потенциала $|T|$ от β при различных значениях H

Численные результаты. Проведенные расчеты показали, что коэффициенты отражения и прохождения слабо зависят от глубины жидкости и существенно меняются при изменении параметра β . На рис. 4 показана зависимость коэффициентов отражения и прохождения от β при $H = 100$ и $H = 0,5$. Значения коэффициентов $|R|$ и T^* при $H = 100$ в рассматриваемом диапазоне параметра β практически не отличаются от соответствующих значений для бесконечно глубокой жидкости [10]. При малых значениях β пластина ведет себя как тонкая пленка и практически не препятствует распространению волны. Коэффициент отражения мал, а коэффициент прохождения близок к единице. При больших значениях β пластина очень жесткая, коэффициент отражения стремится к единице, а коэффициент прохождения — к нулю.

На рис. 5 представлена зависимость амплитуды потенциала $|T|$ от β при различных значениях H . Здесь наблюдается существенная зависимость от глубины жидкости. На рис. 6 показана зависимость безразмерных максимальных деформаций пластины в проходящей волне от β при различной глубине жидкости. Из рис. 6 следует, что при малых

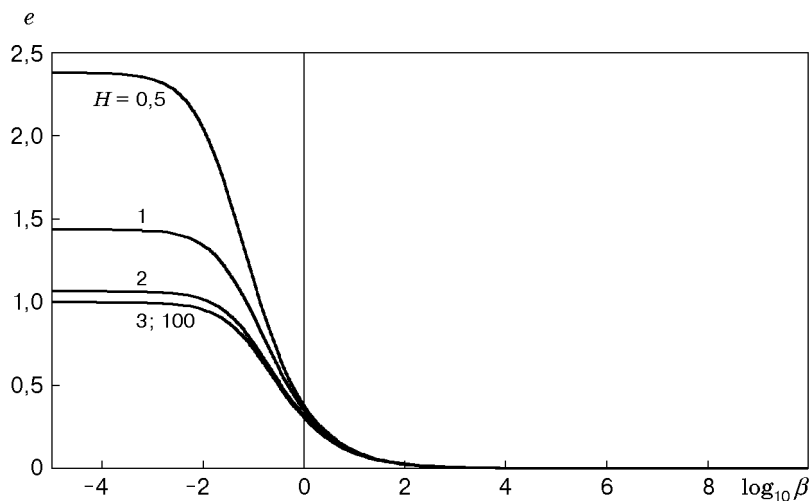


Рис. 6. Зависимость безразмерных максимальных амплитуд деформаций e от β при различных значениях H

значениях H и β деформации пластины могут быть значительными, что объясняется большими значениями волнового числа α_0 (см. рис. 2). Таким образом, наиболее опасными для пластины являются длинные волны, особенно при небольшой глубине жидкости.

ЛИТЕРАТУРА

1. **Squire V. A., Dugan J. P., Wadhams P., et al.** Of ocean waves and sea ice // *Annu. Rev. Fluid Mech.* 1995. V. 27. P. 115–168.
2. **Марченко А. В.** Изгибно-гравитационные волны // *Тр. Ин-та общ. физики РАН.* 1999. Т. 56: Динамика волн на поверхности жидкости. С. 65–111.
3. **Fox C., Squire V. A.** Reflection and transmission characteristics at the edge of short fast sea ice // *J. Geophys. Res.* 1990. V. 95, N C7. P. 11.629–11.639.
4. **Fox C., Squire V. A.** On the oblique reflection and transmission of ocean waves at short fast sea ice // *Philos. Trans. Roy. Soc. London. Ser. A.* 1994. V. 347, N 1682. P. 185–218.
5. **Букатов А. Е., Завьялов Д. Д.** Набегание поверхностных волн на кромку сжатого льда // *Изв. РАН. Механика жидкости и газа.* 1995. № 3. С. 121–126.
6. **Evans D. V., Davies T. V.** Wave-ice interaction: Report / Davidson lab.; Stevens Inst. of Technol. N 1313. New Jersey, 1968.
7. **Варламов В. В.** О рассеянии внутренних волн краем упругой пластины // *Журн. вычисл. математики и мат. физики.* 1985. Т. 25, № 3. С. 413–421.
8. **Гольдштейн Р. В., Марченко А. В.** Дифракция плоских гравитационных волн на кромке ледяного покрова // *Прикл. математика и механика.* 1989. Т. 53, № 6. С. 924–930.
9. **Balmforth N. J., Craster R. V.** Ocean waves and ice sheets // *J. Fluid Mech.* 1999. V. 395. P. 89–124.
10. **Ткачева Л. А.** Дифракция поверхностных волн на плавающей упругой пластине // *Изв. РАН. Механика жидкости и газа.* (В печати.)
11. **Нобл Б.** Метод Винера — Хопфа. М.: Изд-во иностр. лит., 1962.
12. **Гельфанд И. М., Шилов Г. Е.** Обобщенные функции и действия над ними. М.: Физматгиз, 1959.

Поступила в редакцию 22/XI 2000 г.
